

نوسان‌ساز تنظیم‌پذیر با ولتاژ مبتنی بر تشیدیدگر مجتمع شده در زیرلایه (SIW)

علی نورایی یگانه^۱، سید آرش احمدی^{۲*}

۱- دانشجوی کارشناس ارشد، ۲- استادیار، دانشگاه خواجه نصیرالدین طوسی

(دریافت: ۹۵/۰۵/۲۶؛ پذیرش: ۹۶/۰۵/۱۶)

چکیده

در این مقاله یک نوسان‌ساز تنظیم‌پذیر با ولتاژ و کم نویز در باند C، مبتنی بر تشیدیدگر مجتمع شده در زیرلایه، ارائه شده است. همچنین تشیدیدگرهای مجتمع شده در زیرلایه به شکل کامل بررسی و اثر پارامترهای مختلف بر عملکرد آن‌ها بررسی شده است. سپس با بررسی نحوه تحریک و تنظیم‌پذیری این تشیدیدگرهای یک تشیدیدگر بهینه‌ی تنظیم‌پذیر در گستره‌ی فرکانسی GHz ۵ تا ۵/۳ GHz طراحی شده است. تشیدیدگر تنظیم‌پذیر طراحی شده، ضریب کیفیت بالای دارد. شبیه‌سازی این تشیدیدگر بر روی زیرلایه RO4003 با خامت ۳۰ mil نشان می‌دهد ضریب کیفیت در فرکانس تشیدید ۵,۵ GHz، در حدود ۲۴۰ است. در ادامه نوسان‌ساز تنظیم‌پذیری مبتنی بر این تشیدیدگر ارائه شده است که به ازای تغییرات ولتاژ کنترل از ۲ تا ۲۰ ولت در محدوده‌ی ۵/۳ GHz تا ۵/۳ GHz نوسان کرده و نویز فازی بهتر از ۱۱۲ dBc/Hz از فرکانس نوسان مرجع ۱۰۰ KHz در فاصله‌ی فرکانسی ۱۰۰ KHz دارد.

واژگان کلیدی

موجبه مجتمع شده در زیرلایه (SIW)، تشیدیدگر با ضریب کیفیت بالا، تشیدیدگر تنظیم‌پذیر، نوسان‌ساز کم نویز، نوسان‌ساز تنظیم‌پذیر با ولتاژ.

۱. مقدمه

تشیدیدگرهای نقش مهمی در میزان نویز فاز نوسان‌سازها داشته و همین‌طور محدوده‌ی تنظیم‌پذیری نوسان‌سازها را کنترل می‌کنند^[۳]. تشیدیدگرهای در فرکانس‌های ماکروویو ساختارهای مختلفی دارند. از آنجاکه از حدود فرکانس یک گیگاهرتز به بعد، عناصر فشرده کارایی خود را از دست می‌دهند، تشیدیدگرهای گستردۀ موردنویجه قرار می‌گیرند. برخی از تشیدیدگرهای مانند تشیدیدگرهای موجبری کلاسیک، ساختار حجمی دارند و بعضی نیز مانند تشیدیدگرهای خط نواری و ریزنوار حالت صفحه‌ای دارند. تشیدیدگرهای دی‌الکتریکی نیز با ضریب کیفیت بسیار بالا، از جمله تشیدیدگرهای موردنویجه در فرکانس‌های بالا به شمار می‌روند. در هر تشیدیدگر سه پارامتر مهم، فرکانس تشیدید، ضریب کیفیت و محدوده‌ی تنظیم‌پذیری مطرح می‌شود که این پارامترها مستقیماً بر پارامترهای فرکانس نوسان، نویز فاز و محدوده تنظیم‌پذیری نوسان‌سازها تأثیر می‌گذارند. در کنار این سه پارامتر، پارامترهایی مثل هزینه، حجم و وزن، صفحه‌ای بودن، قابلیت مجتمع پذیری بالا و روش تنظیم‌پذیر شدن تشیدیدگر نیز پارامترهای مهمی به شمار می‌روند که با توجه به کاربرد، پارامترهای اصلی را نیز تحت تأثیر خود قرار می‌دهند^[۲].

در دنیای امروز سیستم‌های مخابراتی جزئی جدایی‌ناپذیر از زندگی مردم شده‌اند و قطعاً در این دهه و دهه‌ی آینده شاهد ورود نسل‌های مختلف سیستم‌های مخابراتی با عملکرد بهتر، پهنای باند بیشتر، ابعاد کوچک‌تر و قابلیت مجتمع پذیری بیشتری خواهیم بود^[۱]. نوسان‌سازهای ماکروویو به عنوان قلب سیستم‌های مخابراتی، اثر حیاتی بر عملکرد سیستم دارند. علاوه بر فرکانس نوسان در یک نوسان‌ساز، پارامترهای دیگری مانند توان خروجی، محدوده تنظیم‌پذیری و نویز فاز وجود دارد که بر عملکرد سیستم تأثیرگذار خواهند بود^[۲]. واضح است که مخابرات امروز نیازمند نوسان‌سازهایی با فرکانس بالاتر، محدوده‌ی تنظیم‌پذیری بیشتر و نویز فاز کمتر است.

هر نوسان‌ساز از دو قسمت اساسی تشکیل شده است. یک قسمت فعال که نقش تولید انرژی را بر عهده دارد و عموماً با مقاومت منفی مدل می‌شود و قسمت دیگر، یک مدار مشدد است که فرکانس نوسان را تعیین می‌کند. عموماً مقاومت منفی با استفاده از یک مدار با فیدبک مثبت ترانزیستوری ایجاد می‌شود و انتخاب فرکانس بر عهده تشیدیدگر یا فیلتر است.

*رایانمه نویسنده مسئول: aahmadi@etd.kntu.ac.ir

PIN و کلید زنی در نقاط مختلف تشیدیدگر است. این روش نیز به دلیل استفاده از دیود PIN باعث کاهش ضریب کیفیت تشیدیدگر شده و نمی‌تواند به صورت پیوسته در حوزه‌ی فرکانس، تشیدیدگر را تنظیم‌پذیر کند.

روش دیگر استفاده از اختلال الکتریکی است. این روش به دو صورت مکانیکی و الکتریکی امکان‌پذیر است [۱۱] و [۱۲]. در روش مکانیکی، یک دیالکتریک با ضریب دیالکتریک متفاوت با زیرلایه در محلی با بیشینه‌ی میدان الکتریکی قرار داده می‌شود که موجب می‌شود فرکانس تشیدید تغییر کند. در روش الکتریکی که مبتنی بر تغییر خازن است، از خازن تنظیم‌پذیر با ولتاژ استفاده می‌شود. در [۱۳] و [۱۴] نوسان‌سازهایی مبتنی بر این روش ارائه شده است. روش دیگر تنظیم‌پذیری این تشیدیدگرها با استفاده از خازن و تشیدیدگر تزویج شده است [۱] و [۱۵]. در روش اختلال الکتریکی با خازن تنظیم‌پذیر نیز مانند سایر روش‌ها، تلفات عنصر تنظیم کننده، یکی از محدودیت‌های اساسی است که البته با انتخاب خازن کم‌تلف، این مشکل قابل رفع است. لذا این روش نسبت به روش‌های تنظیم‌پذیری دیگر، برای استفاده در نوسان‌سازهای تنظیم‌پذیر با ولتاژ، مناسب‌تر به نظر می‌رسد.

در این مقاله نوسان‌ساز تنظیم‌پذیر با ولتاژ و کم نویز مبتنی بر تشیدیدگر موجبر مجتمع شده در زیرلایه ارائه شده است. با بررسی و مطالعه‌ی پارامترهای مختلف تشیدیدگر مانند ابعاد و روش‌های مختلف تحریک و تنظیم‌پذیری، تشیدیدگر مجتمع شده در زیرلایه طراحی می‌شود. این تشیدیدگر ضمن حفظ محدوده‌ی تنظیم‌پذیری بالا، ضریب کیفیت بالایی نیز دارد. محدوده‌ی تنظیم‌پذیری تشیدیدگر طراحی شده، از 5 GHz تا $6/3 \text{ GHz}$ بوده و ضریب کیفیت آن در این بازه بین ۱۴۰ تا ۲۸۰ تغییر می‌کند. نوسان‌ساز طراحی شده با استفاده از این تشیدیدگر، در محدوده‌ی $5/3 \text{ GHz}$ تا $6/3 \text{ GHz}$ نوسان کرده و در تمام بازه نوسان، نویز فاز بهتر از 112 dBc/Hz در فاصله 100 KHz از فرکانس نوسان دارد.

این مقاله از چهار بخش تشکیل شده است. در بخش اول تئوری ساختار SIW معرفی شده و مختصه‌ی از تئوری تشیدیدگرها تنظیم‌پذیر ارائه خواهد شد. روش تحلیل در این بخش پایه‌ی اصلی مقاله خواهد بود و ادامه‌ی مقاله به تحلیل موارد ذکر شده در این بخش بر روی تشیدیدگر SIW اختصاص یافته است. در انتهای این بخش یک تشیدیدگر SIW برای تحلیل‌های بعدی ارائه می‌شود. در قسمت دوم به معرفی عوامل مؤثر بر ضریب کیفیت این تشیدیدگر پرداخته شده و اثرات زیرلایه و نحوه‌ی تحریک ورودی بررسی شده است. در بخش بعد با استفاده از روش اختلال الکتریکی، تنظیم‌پذیری تشیدیدگر را بررسی کرده، علت و عوامل مؤثر در تنظیم‌پذیری آن توضیح داده

در [۴] یک نوسان‌ساز با استفاده از تشیدیدگر مبتنی بر موجبرهای مستطیلی کلاسیک ارائه شده است. این تشیدیدگرها تلفات کم و درنتیجه ضریب کیفیت بالایی دارند. اما عموماً دارای ابعاد بزرگ و وزن زیادی بوده و مجتمع پذیر نیستند. به علاوه، این ساختارها به دلیل پیچیدگی زیاد ساخت، هزینه ساخت زیادی دارند و به سختی تنظیم‌پذیر می‌شوند. در [۵] و [۶] نوسان‌سازهایی مبتنی بر تشیدیدگر صفحه‌ای ارائه شده است. تشیدیدگرهای مبتنی بر خطوط انتقال صفحه‌ای قابلیت مجتمع پذیری بالا، ابعاد و وزن کم و هزینه‌ی تولید پایینی دارند. اما به دلیل تلفات بالا، ضریب کیفیت پایینی دارند که باعث افزایش نویز فاز نوسان‌سازهایی مبتنی بر این تشیدیدگرها می‌شود. این تشیدیدگرها به سادگی در محدوده‌ی وسیعی از فرکانس، تنظیم‌پذیر می‌شوند.

تفاوت‌های کاربردی موجبرهای مستطیلی و صفحه‌ای به حدی زیاد است که مزایای هر یک، معایب دیگری است لذا باید ساختاری که حد وسط این دو موجبر باشد ارائه شود. در اوایل دهه ۹۰ میلادی ساختاری با نام موجبر مجتمع شده در زیرلایه ارائه شد [۷]. در موجبرهای مجتمع شده در زیرلایه، پارامترهای مثبت هر یک از این دو نوع موجبر تا حد زیادی حفظ شده است. موجبرهای مجتمع شده در زیرلایه یا SIW، توانایی مجتمع پذیری بسیار بالایی نسبت به موجبرهای مستطیلی دارند. در حالی که فقط به اندازه‌ی یک موجبر صفحه‌ای حجم و وزن دارند و هزینه‌ی ساخت آن‌ها مشابه خطوط انتقال صفحه‌ای است. این موجبرها نسبت به خطوط انتقال صفحه‌ای تلفات کم‌تری دارند، زیرا تلفات تشعشعی در آن‌ها بسیار ناچیز بوده و تلفات هادی نیز به دلیل انتشار جریان بر روی یک سطح بزرگ، از خطوط انتقال صفحه‌ای کم‌تر است. با توجه به شباهت موجبرهای SIW با موجبرهای مستطیلی و تلفات کم‌تر نسبت به خطوط انتقال صفحه‌ای، این موجبر ضریب کیفیت بهتری نسبت به خطوط صفحه‌ای دارد [۸] و [۹]. با توجه به موارد ذکر شده، تشیدیدگرهای SIW گزینه مناسبی برای جایگزینی مشددهای مرسوم در نوسان‌سازها هستند. علاوه بر تمامی برتری‌های ذکر شده، تشیدیدگرها SIW به سادگی و با روش‌های مختلف تنظیم‌پذیر می‌شوند.

در [۱۰] روش‌های مختلف تنظیم‌پذیری ساختارهای SIW ارائه شده است. این ساختارها با استفاده از سه روش اختلال مغناطیسی، اختلال الکتریکی و روش کلید زنی، تنظیم‌پذیر می‌شوند. در روش اختلال مغناطیسی یک ماده مغناطیسی مانند فریت در محل میدان مغناطیسی بیشینه قرار می‌گیرد. این روش به دلیل تلفات فریت و نیز تغییر شکل توزیع میدان‌های داخلی باعث کاهش ضریب کیفیت می‌شود. علاوه بر این از لحاظ علمی دشوار، حجمی و پرهزینه است. روش دیگر استفاده از دیودهای

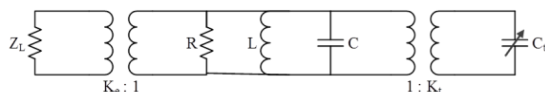
رابطه، جواب بهینه است. با استفاده از این دو رابطه می‌توان ابتدا ساختار مورد نظر را شبیه موجبر پرشده با دیالکتریک زیرلایه‌ی مورد نظر و ضخامتی برابر با ضخامت زیرلایه مورد نظر طراحی کرده و درنهایت پس از بررسی و بهینه‌سازی، ساختار SIW معادل را طراحی کرد. در این روابط a_{SIW} به فاصله عرضی مرکز تا مرکز واپاها و a_{RWG} به عرض موجبر مستطیلی فرضی معادل اشاره دارد.

$$a_{SIW} = a_{RWG} + \frac{d^2}{0.95h} \quad (1)$$

$$a_{SIW} = a_{RWG} + 1.08 \frac{d^2}{p} + 0.1 \frac{d^2}{a_{SIW}} \quad (2)$$

۲-۲- تشیدیدگرها

در [۳] و [۱۷] تئوری تشیدیدگرها به شکل کامل ارائه شده است. در شکل (۲) مدار معادل عمومی تشیدیدگر مدارباز تنظیم‌پذیر ارائه شده است. در این شکل L و C نقش تشیدیدگر ایده‌آل، R نقش تلفات تشیدیدگر و K_t به ترتیب تزویج ورودی و تنظیم را تعیین می‌کند. همچنین خازن C_t عنصر متغیر تنظیم کننده تشیدیدگر است که در روش تنظیم‌پذیری با استفاده از اختلال الکتریکی، معمولاً از خازن استفاده می‌شود.



شکل (۲): مدار معادل تشیدیدگر تنظیم‌پذیر

این تشیدیدگر یک مدار تشیدید از نوع مدارباز است که در فرکانس تشیدید، امپدانس بسیار بزرگی دارد. مقاومت R به عنوان مدل تلفات تشیدیدگر، عموماً مربوط به تلفات هادی و زیرلایه است، اما در بعضی تشیدیدگرها علاوه بر این دو تلفات معروف، تلفات تشعشعی و نشتی نیز داریم. تزویج ورودی نقش تبدیل کننده امپدانس بسیار بزرگ تشیدیدگر به امپدانس بار موردنظر را دارد. این تبدیل امپدانس، به دلیل تلفات در تزویج گر ورودی و تغییر شکل میدان‌های الکترومغناطیسی تشیدیدگر به دلیل نحوه تحریک، بر عملکرد بهینه تشیدیدگر تأثیر می‌گذارد. همچنین به دلیل بارگذاری شبکه ورودی، باعث کاهش ضریب کیفیت بازشده‌ی تشیدیدگر می‌شود.

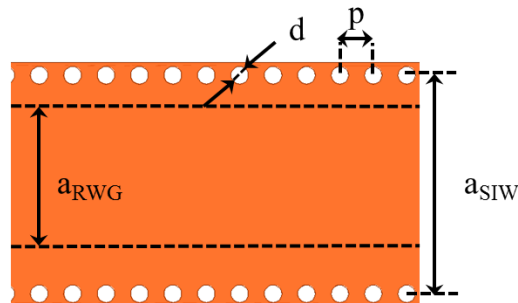
در بررسی هر تشیدیدگر، دو پارامتر مهم فرکانس تشیدید و ضریب کیفیت معرف ویژگی‌های تشیدیدگر هستند. برای محاسبه ضریب کیفیت مشکلاتی وجود دارد. ضریب کیفیت بدون بار که معرف ضریب کیفیت تشیدیدگر بدون در احتساب اثر بارگذاری تحریک ورودی است، متناسب با نسبت انرژی کل ذخیره‌شده در تشیدیدگر به انرژی تلفشده در آن است. با توجه به این تعریف،

می‌شود و تشیدیدگر تنظیم‌پذیر بهینه طراحی می‌شود. درنهایت در بخش چهارم با استفاده از این تشیدیدگر و یک ترانزیستور BFP520 به عنوان عنصر مقاومت منفی، نوسان‌ساز تنظیم‌پذیر با ولتاژ کم نویز را در محدوده $5/3$ تا $6/3$ گیگاهرتز طراحی کرده و نتایج آن را ارائه می‌دهیم.

۲-۳- تشیدیدگر مجتمع شده در زیرلایه

۲-۱- ساختارهای مجتمع شده در زیرلایه

در شکل (۱)، شکل یک موجبر مجتمع شده در زیرلایه از نمای بالا ارائه شده است. سوراخ‌های متالیزه شده به قطر d که در فاصله p از یکدیگر قرار دارند، اتصال الکتریکی بین صفحات فلزی بالا و پایین زیرلایه عایق به ارتفاع h را برقرار می‌کنند. درنتیجه امکان انتشار موج الکترومغناطیسی داخل بخش عایق زیرلایه در این ساختار فراهم می‌شود [۲۱]. سوراخ‌های متالیزه می‌توانند به جای شکل استوانه‌ای، شکل‌های دیگری مانند شکاف‌هایی با سطح مقطع مستطیلی داشته باشند. این سوراخ‌های متالیزه اگر در فاصله مناسبی از یکدیگر قرار گیرند، رفتار یک دیواره الکتریکی با تلفات بسیار کم را از خود نشان می‌دهند که تداعی‌کننده‌ی یک موجبر مستطیلی است.



شکل (۱): ساختار موجبر مجتمع شده در زیرلایه

در عمل مقداری از انرژی الکترومغناطیسی ورودی به این ساختار توسط این دیواره به بیرون نشست می‌کند که با طراحی مناسب این دیواره می‌توان آن را به حداقل رساند. با توجه به مرجع [۸]، برای حداقل شدن تلفات نشتی باید نسبت فاصله

بین دو سوراخ متالیزه به طول موج، در حدود $0.05 < \frac{p}{\lambda_c} < 0.25$ و نسبت قطر سوراخ متالیزه d به فاصله p، در محدوده

$\frac{d}{p} < 0.5$ باشد. در تئوری، هر موجبر SIW موجبر

مستطیلی معادل خود را دارد. عرض موجبر معادل با توجه به روابط ۱ و ۲ به دست می‌آید [۱۶]. رابطه (۱) دارای خطای عملی ۵ درصد و رابطه دوم دارای خطای در حدود ۲/۵ درصد است. البته نتایج تجربی نشان‌گر آن است که میانگین نتیجه این دو

$$Q = \frac{f_{\max}}{\Delta f_{3dB}} \quad (4)$$

رابطه (۵) تعریف دیگری را از ضریب کیفیت نشان می‌دهد [۱]. در این رابطه، φ (به رادیان) معرف فاز امپدانس ورودی تشیدیدگر است. در این روش رفتار نقطه‌ای فاز موردنویه قرار داده شده است. این روش مدامی صادق است که تغییرات فاز خطی باشد. هر سه روش، نتایج نزدیکی را ارائه می‌دهند و حداقل اختلاف آن‌ها باهم به‌سختی به ده درصد می‌رسد.

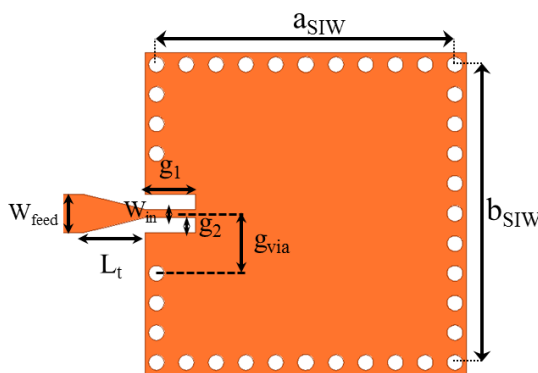
$$Q = \frac{\omega_0}{2} \left| \frac{\partial \varphi}{\partial \omega} \right|_{\omega=\omega_0} \quad (5)$$

۳-۲- تشیدیدگر مجتمع شده در زیرلایه

در قسمت ۱-۲ ساختار SIW معرفی شد و گفته شد این ساختار با ساختار موجبر مستطیلی معادل است. لذا تمامی مدارات غیرفعالی که با موجبر مستطیلی ساخته می‌شوند را می‌توان با موجبر مجتمع شده در زیرلایه ساخت. از آنجاکه تشیدیدگرهای مکعب مستطیلی ضریب کیفیت بالایی دارند و بسیار پرکاربرد هستند، با توجه به شباهت‌های موجبر مستطیلی کلاسیک و موجبر مجتمع شده در زیرلایه، انتظار می‌رود تشیدیدگرهای ساختار SIW نیز بسیار موردنویه قرار گیرند.

در شکل (۳) یک تشیدیدگر مجتمع شده در زیرلایه نشان داده شده است. همانند یک تشیدیدگر موجبر مستطیلی، مود غالب این ساختار TE110 است. فرکانس‌های تشیدید این تشیدیدگر در مودهای مختلف را می‌توان از رابطه ۶ و سپس روابط (۱) و (۲) محاسبه کرد.

$$f_{mn} = \frac{c}{2\pi\sqrt{\epsilon\mu}} \sqrt{\left(\frac{m\pi}{a_{RWG}}\right)^2 + \left(\frac{n\pi}{b_{RWG}}\right)^2 + \left(\frac{l\pi}{h}\right)^2} \quad (6)$$



شکل (۳): تشیدیدگر مجتمع شده در زیرلایه

تشیدیدگر مجتمع شده در زیرلایه مربعی برای تشیدید در فرکانس ۶ GHz بر روی زیرلایه RO4003 با ضریب گذرهای

افزایش پارامتر R باعث کاهش ضریب کیفیت شده و در طراحی تشیدیدگرهای سعی می‌شود از موادی با تلفات کم استفاده شود. بخش تنظیم‌پذیر کننده تشیدیدگر از اهمیت ویژه‌ای برخوردار است. این قسمت نیز مانند تحریک ورودی مثل یک مدار خارجی متصل به تشیدیدگر بر روی آن اثر می‌گذارد. در عمل مداری که برای تنظیم‌پذیری استفاده می‌شود نیز به دلیل اثر بارگذاری، باعث کاهش ضریب کیفیت می‌شود. لذا هر چه k بزرگ‌تر باشد، اثر این شبکه بر بارگذاری بیشتر می‌شود و محدوده تنظیم‌پذیری نیز گسترش یافته در عوض ضریب کیفیت تشیدیدگر کاهش می‌یابد. علاوه بر این، عنصر تنظیم کننده فرکانس (C_i)، ایدئال نیست و تلفات آن بر ضریب کیفیت اثر منفی دارد.

روش‌های مختلف محاسبه ضریب کیفیت در مراجع [۳] و [۱۸] ارائه شده است. از آنجاکه در این مقاله تشیدیدگرهای یک دهانه مورد مطالعه قرار می‌گیرند، نمی‌توان از افت عبوری برای محاسبه ضریب کیفیت استفاده کرد. در مرجع [۱۸] روش‌های مختلفی جهت محاسبه ضریب کیفیت ارائه شده است که مهم‌ترین آن‌ها استفاده از تأخیر گروه است. فرکانسی که تأخیر گروه در آن بیشترین مقدار را دارد، f_{\max} نامیده می‌شود.

در حالتی که به فاز S₁₁ این فرکانس، ۹۰ درجه اضافه و کم شود، فرکانس‌های مربوط به این فازها یعنی f_{+90} و f_{-90} را به دست می‌آید. در این روش ضریب کیفیت با استفاده از رابطه (۳) محاسبه می‌شود.

$$Q = \frac{f_{\max}}{f_{-90} - f_{+90}} \quad (3)$$

این تعریف هرچند تعریف کارآمدی است، اما در بعضی از مشددها که فرکانس‌های تشیدید متفاوت و نزدیک به هم دارند، دچار خطأ می‌شود. از طرف دیگر، این روش به فاز ورودی تشیدیدگر نیز وابسته است و می‌بایست از دهانه ورودی تشیدیدگر محاسبه شود.

روش دیگری در [۳] ارائه شده است که مبتنی بر اندازه‌ی امپدانس است. اگر در محدوده تزویج بحرانی^۱ ورودی باشیم، این روش را می‌توان به این شکل برای محاسبه Q بارشده ارائه کرد. ضریب کیفیت برابر با نسبت فرکانسی است که در آن امپدانس بیشینه است به تفاضل فرکانس‌هایی که امپدانس در آن نصف مقدار بیشینه را دارا است. در رابطه (۴) با در نظر گیری f_{\max} به عنوان فرکانس دارای حداقل اندازه امپدانس و Δf_{3dB} به عنوان اختلاف دو فرکانسی که در آن‌ها $20\log(\text{Mag}(z))$ به میزان ۳dB کاهش می‌یابد رابطه ضریب کیفیت ارائه شده است.

جدول (۱)؛ فرکانس رزونانس و ضریب کیفیت سه مود اول موجبر

مجتمع شده در زیرلایه به ازای ابعاد مختلف

| a_{SIW} (mm) | f (GHz) | Q_{mod1} | Q_{mod2} | Q_{mod3} |
|-----------------------|---------|-------------------|-------------------|-------------------|
| ۵ | ۲۴/۳۸ | ۹۲۸ | ۱۲۴۴ | ۱۴۳۲ |
| ۷/۵ | ۱۵/۷۱ | ۷۴۱ | ۱۰۱۲ | ۱۱۸۴ |
| ۱۰ | ۱۱/۷ | ۶۳۰ | ۸۶۹ | ۱۰۱۹ |
| ۱۵ | ۷/۶۹ | ۴۸۸ | ۶۸۸ | ۸۱۱ |
| ۲۰ | ۵/۷۳ | ۳۹۹ | ۵۶۷ | ۶۷۶ |
| ۲۵ | ۴/۵ | ۳۴۲ | ۵۰۸ | ۶۱۴ |

مشخص است که با افزایش فرکانس از باند C به سمت فرکانس‌های موج میلی‌متری، ابعاد تشدیدگر SIW کاهش می‌یابد و منجر به افزایش ضریب کیفیت تشدیدگر می‌شود. لذا کاربرد این ساختار با افزایش فرکانس بیشتر می‌شود.

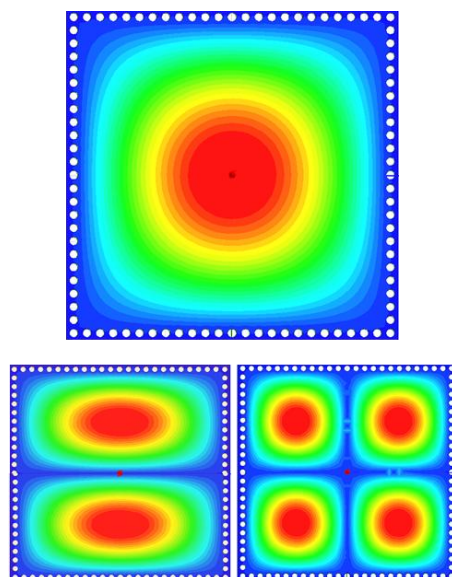
۳- تحریک تشدیدگرهای مجتمع شده در زیرلایه

روش‌های مختلفی جهت تحریک تشدیدگرهای مجتمع شده در زیرلایه با استفاده از خط ریزنوار ارائه شده است. از جمله این روش‌ها می‌توان به خط انتقال باز شونده [۱۹]، خط انتقال داخل شونده و خط انتقال زمین شده [۲۰] اشاره کرد. البته از خطوط انتقال هم صفحه و شکافی نیز برای تحریک این موجبرها استفاده می‌شود. خط ریزنوار به دلیل سادگی و مزایای زیاد شناخته شده، به عنوان خط انتقال در این مقاله انتخاب شده است. خط انتقال زمین شده، با ایجاد میدان مغناطیسی باعث تحریک موجبر مجتمع شده در زیرلایه می‌شود. اما به دلیل استفاده از سوراخ متالیزه در محل تحریک و تغییر ساختار میدان‌های تشدیدگر، تأثیر مخربی بر ضریب کیفیت تشدیدگر می‌گذارد. روش خط باز شونده در مقایسه با خط داخل شونده، رفتار باند باریک دارد و برای تحریک تشدیدگرهای استفاده می‌شود. علاوه بر آن اثر بارگذاری در خط پهن شونده نسبت به خط داخل شونده بیشتر است. لذا در این بخش به بررسی اثر خط باریک شونده بر تشدیدگر مجتمع شده در زیرلایه پرداخته می‌شود.

در شکل (۳) روش تحریک با استفاده از خط داخل شونده نشان داده شده است. عرض شکاف بین خط و صفحه بالایی موجبر SIW با g_2 نشان داده شده است، عرض خط بیرونی برابر عرض مورد نیاز برای ایجاد امپدانس مشخصه موردنظر است و با w_{feed} نشان داده می‌شود. عرض خط داخل شونده یا w_{in} و طول خط تبییر شونده یا l_1 در شکل ۳ نشان داده شده است. مقدار w_{in} به همراه مقادیر داخل شدگی خط انتقال که با g_{via} نشان داده است و فاصله خط تا اولین سوراخ متالیزه که با g_{via} نشان داده شده است به همراه g_2 ضریب تزویج k_e را مشخص می‌کند. در بخش ۲-۲ در مورد تحریک تشدیدگر به دو نکته تأثیر روش تحریک بر توزیع میدان تشدیدگر و نیز تلفات تزویج خط

الکتریکی $3/55$ و ضخامت 30 mil طراحی شده است. مقدار a_{SIW} در این حالت به ازای سوراخ متالیزه با قطر 40 mm و فاصله 6 mm ، 19 mm به دست می‌آید. این تشدیدگر بدون درنظر گیری تحریک ورودی با استفاده از نرم‌افزار تحلیل‌گر تمام Eigen Mode در حالت HFSS موج شبیه‌سازی شده است. نتایج شبیه‌سازی نشان میدهد تشدید اول در فرکانس 60.4 GHz با ضریب کیفیت 351 رخ می‌دهد. توزیع میدان الکتریکی در مود غالب تشدید و مودهای تشدید مرتبه بعدی در شکل (۴) نشان داده شده است. در مود اول میدان الکتریکی با دامنه زیاد در مرکز تشدیدگر تجمع داشته و سپس با فاصله گرفتن از مرکز به سمت لبه‌ها دامنه میدان کم می‌شود تا آنجا که در لبه‌ها، میدان در کمینه مقدار خود قرار می‌گیرد که یادآور دیواره فلزی است. مود دوم که مشابه مود TE_{210} در تشدیدگر موجبر مستطیلی است، در فرکانس 95.5 GHz تشدید می‌کند و ضریب کیفیت بالاتری از مود اول دارد. ضریب کیفیت این مود برابر با 51.0 است. مود سوم TE_{220} است که در فرکانس 12 GHz تشدید کرده و ضریب کیفیت آن برابر با 61.0 است.

شبیه‌سازی‌ها نشان می‌دهد که با افزایش مرتبه مود، ضریب کیفیت افزایش می‌یابد. دلیل افزایش ضریب کیفیت، کاهش حجم مؤثر دی الکتریک تلفاتی با افزایش مرتبه مود است. در جدول (۱) ضریب کیفیت بدون بار و ابعاد تشدیدگر مربعی SIW در محدوده فرکانسی 4 گیگاهرتز تا 24 گیگاهرتز برای سه مود تشدید اول ارائه شده است.



شکل (۴)؛ توزیع میدان الکتریکی تشدیدگر مجتمع شده در زیرلایه در مود اول (شکل بالا)، مود دوم (شکل پایین سمت چپ)، و مود سوم (شکل پایین سمت راست)

میلی متر برای g_{via} انتخاب شد. W_{in} نیز بر رفتار تشدیدگر بسیار تأثیرگذار است. با کاهش W_{in} اثرگذاری شبکه تغذیه بر توزیع میدان تشدیدگر و درنتیجه تغییر فرکانس تشدید آن کاهش می‌یابد و ضریب کیفیت نیز بالا می‌رود.

در تحریک تشدیدگر SIW با استفاده از خط داخل شونده، عرض خط داخل شونده اثرگذاری شدیدی بر رفتار تشدیدگر دارد چراکه این خط تا نقاطی ادامه می‌یابد که توزیع میدان در آنها قابل توجه است. با کاهش عرض این خط قطعاً انتظار می‌رود اثرگذاری بر توزیع میدان کاهش یافته و در نتیجه با تغییرات فرکانس کمتری در تغییر این خط مواجه شویم که به معنی بارگذاری کمتر تشدیدگر توسط این خط نیز می‌باشد. عدم تاثیر روی توزیع میدان الکتریکی و بارگذاری کمتر تشدیدگر ضریب گذردهی بالاتر را نتیجه خواهد داد.

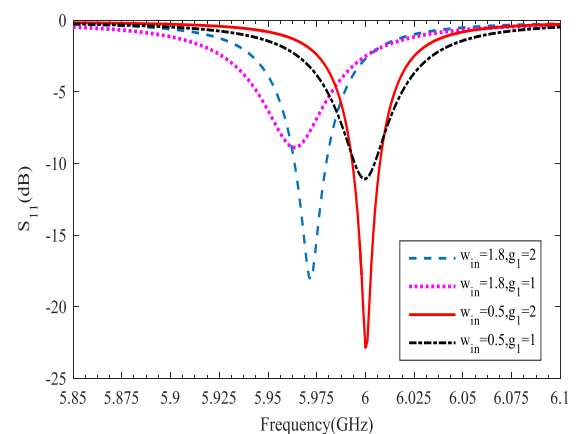
در شکل (۵) اثر دو W_{in} متفاوت به ازای داخل شوندگی‌های مختلف بررسی شده است. همان‌گونه که در این شکل مشاهده می‌شود، به ازای W_{in} کوچکتر اثر داخل شوندگی بر جایجایی فرکانس تشدید بسیار ناچیز است. نتایج این جدول با استفاده از modal solution نرم‌افزار HFSS و شبیه‌سازی در حالت به دست آمده است. این تشدیدگر بر روی زیرلایه RO4003 با ضخامت ۳۲ mil ۳۲ جهت تشدید در فرکانس ۶ GHz طراحی شده است. با استفاده از رابطه (۶)، عرض موجبر مستطیلی معادل برابر با $18/5$ محاسبه می‌شود و طبق روابط ۱ و ۲، عرض موردنیاز برای تشدیدگر SIW $19/1$ mm به دست می‌آید. پس از شبیه‌سازی ساختار و اعمال تغییرات به ازای a_{SIW} برابر با $18/8$ mm، تشدیدگر در فرکانس ۶ GHz ۶ تشدید می‌کند. پارامترهای تشدیدگر در جدول (۲) ارائه شده است. تشدیدگر با W_{in} برابر 1.8 mm دارای ضریب کیفیت در حدود 256 و تشدیدگر دیگر دارای ضریب کیفیت 291 است. همان‌گونه که از نتایج مشخص است تشدیدگر با W_{in} بزرگ‌تر به ازای تغییرات داخل شوندگی g_1 دچار کمی تغییر در فرکانس تشدید می‌شود که به معنی بارگذاری تشدیدگر توسط شبکه تحریک و درنتیجه کاهش بیشتر ضریب کیفیت است که نتایج محاسبه شده با استفاده از شبیه‌سازی و رابطه (۴) نیز این موضوع را تأیید می‌کند. این نتایج نمایشگر اثر بارگذاری کمتر و برتری استفاده از W_{in} کوچک‌تر در طراحی تشدیدگرها است.

درنهایت تشدیدگر با W_{in} برابر با 0.5 mm و g_1 برابر با 2 mm به عنوان تشدیدگر بهینه انتخاب شده است که ضریب کیفیت در حدود 290 دارد.

تحریک به تشدیدگر اشاره شد. با اثرگذاری روش تحریک بر توزیع میدان‌های تشدیدگر، فرکانس تشدید تشدیدگر جایه جا شده، ضریب کیفیت آن نیز کاهش می‌یابد و امکان دارد رفتارهای تشدیدی ضعیف دیگری نیز در اطراف فرکانس تشدید اصلی ایجاد کند که طراحی بهینه و آسان تشدیدگر را با مخاطره روبرو می‌کند. تلفات در قسمت تزویج باعث کاهش بیشتر ضریب کیفیت بازشده می‌شود. به این منظور باید در طراحی خط تغذیه مخصوصاً در اتصال موجبر به خط تغذیه، دقت لازم صورت گیرد. با توجه به توضیحات ارائه شده، در روش تغذیه داخل شونده، پارامترهای g_2 و g_{via} به دلیل ایجاد امکان نشت میدان‌ها به خارج از تشدیدگر، تلفات تزویج را کنترل می‌کنند. در حالی که پارامترهای g_2 و W_{in} به همراه g_1 به دلیل ایجاد تغییرات در داخل تشدیدگر (نزدیک مناطقی که میدان الکتریکی قوی‌تر است) بر توزیع میدان‌ها تأثیر می‌گذارند.

جدول (۲): پارامترهای تشدیدگر مجتمع شده در زیرلایه (بر حسب میلی‌متر)

| a_{SIW} | b_{SIW} | W_{feed} | W_{in} | L_t | g_1 | g_2 | g_{via} | P | D |
|-----------|-----------|------------|----------|-------|-------|-------|-----------|-----|-----|
| ۱۸/۸ | ۱۸/۸ | ۱/۸ | - | ۱ | - | ۰/۵ | ۲/۵ | ۰/۷ | ۰/۴ |



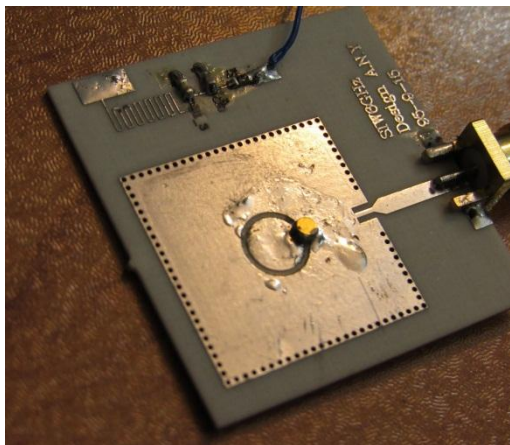
شکل (۵): اندازه ضریب بازتاب تشدیدگر SIW به ازای مقادیر مختلف W_{in} و g_1 (بر حسب dB)

با افزایش g_{via} تزویج میدان مغناطیسی ورودی و سوراخ‌های متالیزه کاهش می‌یابد که باعث عدم زمین شدن جریان ورودی و رسیدن کامل آن به تشدیدگر است. لذا انتظار می‌رود با افزایش این پارامتر، ضریب کیفیت تشدیدگر افزایش یابد. افزایش g_2 نیز به دلیل مشابه، باعث افزایش ضریب کیفیت تشدیدگر می‌شود. افزایش بیش از حد این دو پارامتر باعث افزایش تلفات نشتی و تشعشعی شده و تشدیدگر را از حالت تشدید خارج می‌کند. پس از شبیه‌سازی‌های متعدد عدد 0.5 میلی‌متر برای g_2 و 2.5

جدول (۲): پارامترهای تشیدیدگر مجتمع شده در زیرلایه تنظیم‌پذیر
(بر حسب میلی‌متر)

| a_{SIW} | b_{SIW} | W_{feed} | W_{in} | L_t |
|-----------|-----------|------------|----------|-------|
| ۱۹/۲ | ۱۹/۲ | ۱/۸ | ۱/۵ | ۱ |
| g_1 | g_2 | g_{via} | P | D |
| ۱/۷ | ۰/۵ | ۱/۸ | ۰/۷ | ۰/۴ |
| R | g_t | | | |
| ۲/۵ | ۰/۵ | | | |

طبق داده‌های سازنده، ضریب کیفیت دیود ورکتور در فرکانس ۵۰ MHz در حدود ۴۰۰۰ است. البته با افزایش فرکانس این عدد کاهش می‌یابد که فقط با اندازه‌گیری می‌توان مقدار حقیقی ضریب کیفیت دیود ورکتور را در فرکانس‌های بالا بدست آورد. اثر دیگر مربوط به نحوه تزویج بین عنصر تنظیم‌پذیر و تشیدیدگر است. همان‌طور که در بخش ۱ ذکر شد در این روش تزویج، تلفات اثرگذار است و اندازه‌ی این تلفات نیز مختلف است. در حالت استفاده از شکاف حلقه، این تلفات تزویج عموماً به تلفات تشعشعی محدود می‌شود. با کاهش فاصله شکاف و انتخاب اندازه محیط حلقه به طوری که محیط آن از طول موج مؤثر بسیار کمتر باشد، این تلفات بهشت کم می‌شود. البته کاهش این تلفات، موجب کاهش محدوده تنظیم‌پذیری نیز می‌شود.



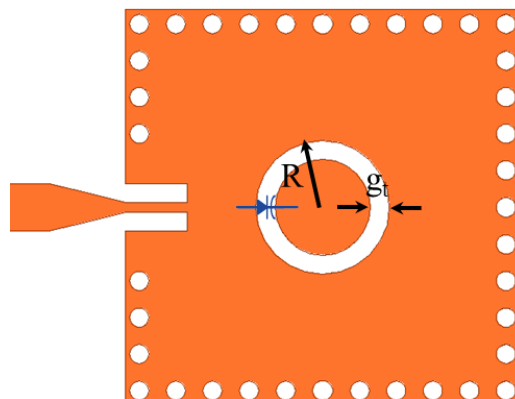
شکل (۷): تصویری از نوسان‌ساز تنظیم‌پذیر با ولتاژ ساخته شده جهت محاسبه ضریب کیفیت ورکتور.

برای اندازه‌گیری ضریب کیفیت ورکتورها در فرکانس بالا روابط عمومی موجود جواب‌های غلط و گمراه‌کننده‌ای می‌دهند. جهت اندازه‌گیری مقدار واقعی ضریب کیفیت ورکتور لازم است از روش‌های اندازه‌گیری استفاده شود. به این منظور SIW نشان داده شده در شکل (۷) که برای فرکانس ۶ GHz طراحی شده است، به کار گرفته شد. این تشیدیدگر به ازای خازن $6/1$ GHz در فرکانس $6/1$ GHz تشیدید می‌کند. پارامتر S این تشیدیدگر توسط

۴- تشیدیدگرهای تنظیم‌پذیر مجتمع شده در زیرلایه با استفاده از اختلال الکتریکی

برای تنظیم‌پذیر کردن یک تشیدیدگر می‌توان از تئوری اختلال استفاده کرد [۳] و [۱۲]. این اختلال می‌تواند از نوع اختلال مغناطیسی مثل قرار دادن فریت درون تشیدیدگر یا از نوع اختلال الکتریکی مثل استفاده از دیالکتریک با جنس متفاوت با زیرلایه درون تشیدیدگر باشد. برای این‌که اختلال در مؤثرترین حالت خود باشد، بهتر است این اختلال در مکانی با حداقل اندازه میدان ایجاد شود. روش دیگر برای ایجاد اختلال الکتریکی استفاده از خازن است زیرا تغییر میدان الکتریکی، مشابه شرایطی است که ابعاد فیزیکی تغییر کند. در صورتی که دیالکتریکی با ضریب دیالکتریک بیشتر از زیرلایه در وسط تشیدیدگر قرار دهیم، میدان الکتریکی درون این قسمت نسبت به سایر نقاط افزایش می‌یابد که به معنی افزایش طول مؤثر تشیدیدگر بوده و باعث تغییر فرکانس تشیدید به سمت فرکانس‌های پایین‌تر می‌شود. همچنین در صورتی که مانند شکل (۶) یک حلقه برای اتصال خازن ایجاد کنیم، میدان الکتریکی در اطراف حلقه نسبت به حالتی که حلقه نیست، افزایش می‌یابد که به همان معنی افزایش طول و عرض مؤثر تشیدیدگر و تغییر فرکانس تشیدید به سمت فرکانس‌های پایین‌تر است.

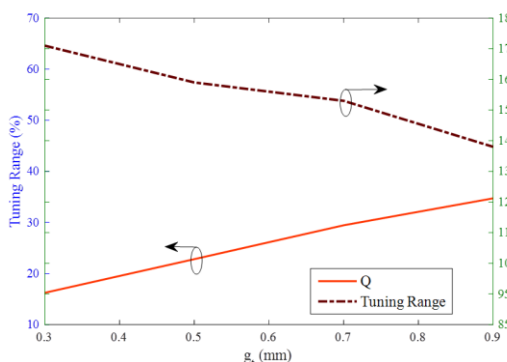
همانند بحث تحریک تشیدیدگر، تزویج خازن تنظیم‌پذیر نیز محدودیت‌هایی بر ساختار تشیدیدگر اعمال می‌کند. از جمله این محدودیت‌ها تلفات داخلی خازن تنظیم‌پذیر است که می‌تواند در مدار معادل تشیدیدگر، به عنوان مقاومت مدل شده و باعث کاهش ضریب کیفیت شود. استفاده از خازن تنظیم‌پذیر با ضریب کیفیت بالا، این اثر را بهشت کاهش می‌دهد. در این مقاله، از ورکتور به شماره MGV125-20 معرفی شده در [۶] که ضریب کیفیت بالایی دارد استفاده شده است.



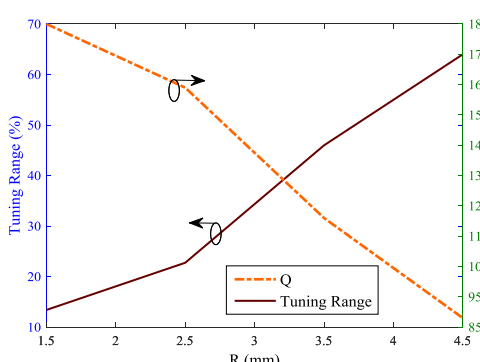
شکل (۶): تنظیم‌پذیر کردن تشیدیدگر مجتمع شده در زیرلایه با استفاده از حلقه و خازن تنظیم‌پذیر با ولتاژ

با توجه به این موضوع به سادگی می‌توان نتیجه‌گیری کرد که با افزایش شعاع حلقه تزویج و همین‌طور افزایش گستره تعییر خازن، می‌توان محدوده تنظیم‌پذیری تشدیدگر را افزایش داد. از طرف دیگر این دو عمل باعث ایجاد مشکلاتی در تشدیدگر می‌شوند. از جمله آن که مطابق تئوری آنتن‌های شکافی، افزایش شعاع حلقه تزویج، تلفات نشتی را افزایش می‌دهد. در عمل، خازن ورکتور مناسب با محدوده‌ی تغییرات زیاد وجود ندارد. خازن‌های با محدوده تنظیم‌پذیری بسیار بالا، تلفات بالایی دارند که باعث کاهش ضریب کیفیت تشدیدگر می‌شود.

در نمودارهای ارائه شده در شکل‌های (۱۰) و (۱۱)، نتایج مربوط به گستره تنظیم‌پذیری تشدیدگر به ازای تعییر خازن از ۰,۱ تا ۱ پیکو فاراد و نیز ضریب کیفیت تشدیدگر به ازای خازن ۰,۵ پیکو فاراد، بر اساس تغییر g_t و R ارائه شده است. از آنجاکه با اضافه کردن حلقه، مجددًا تغییراتی در ابعاد تشدیدگر داده شده، ابعاد تشدیدگر جدید در جدول (۳) ارائه شده است. با توجه به این نتایج، برای داشتن ضریب کیفیت بالا و محدوده تنظیم‌پذیری در حدود یک گیگاهرتز، انتخاب g_t برابر 0.5 mm و R برابر با 2.5 mm مناسب است. قطعاً با توجه به نمودارها شعاع دایره میانی نقطه تنظیم‌پذیری و ضریب کیفیت را مشخص می‌کند.



شکل (۱۰): محدوده تنظیم‌پذیری و ضریب کیفیت تشدیدگر تنظیم‌پذیر به ازای تغییرات g_t
 $R=2.5\text{ mm}$



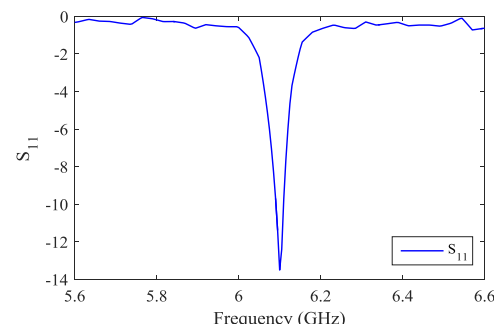
شکل (۱۱): محدوده تنظیم‌پذیری و ضریب کیفیت تشدیدگر تنظیم‌پذیر به ازای تغییرات R
 $g_t=0.5\text{ mm}$

تحلیلگر شبکه اندازه‌گیری گیری شد. نتیجه اندازه‌گیری ضریب بازتاب به همراه نتیجه اندازه‌ی امپدانس ورودی در شکل‌های (۸) و (۹) نشان داده شده‌اند. با توجه به نتایج اندازه‌گیری امپدانس ورودی از رابطه (۴) ضریب کیفیت این تشدیدگر در حدود ۱۴۲ است لذا طبق رابطه (۶) و این‌که ضریب کیفیت تشدیدگر به تنهایی در حدود ۳۰۰ است، ضریب کیفیت ورکتور در حدود ۳۰۰ به دست می‌آید. این عدد بعنوان ضریب کیفیت ورکتور در ادامه‌ی روند طراحی در نظر گرفته شده است.

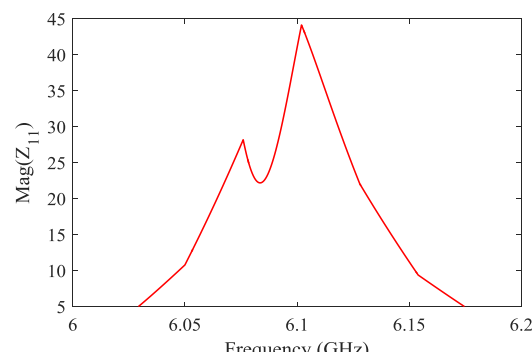
$$Q^{-1}_{\text{res}} + Q^{-1}_{\text{var}} = Q^{-1}_t \quad (7)$$

البته Q_{var} محاسبه‌شده در این رابطه ضریب کیفیت دقیق ورکتور نیست و در آن اثر بارگذاری شبکه تنظیم هم تا حدی وجود دارد که باعث شده است ضریب کیفیت به دست آمده کمی از ضریب کیفیت واقعی ورکتور بیشتر باشد. اما در این کاربرد می‌توان به پشتونه همین مقدار، تمامی شیوه‌سازی‌ها را با دقت مناسبی پیش برد.

در بحث محدوده تنظیم‌پذیری مجددًا باید به سراغ تئوری اختلال در تشدیدگرها برویم. در روش اضافه کردن دی‌الکتریک به ساختار، با افزایش ابعاد و ضریب دی‌الکتریک عنصر اختلال دهنده، فرکانس تشدید جدید کاهش می‌یابد تا جایی که اگر ضریب دی‌الکتریک به ضریب دی‌الکتریک خود زیرلایه برسد، فرکانس تشدید به حالت سابق بازخواهد گشت.



شکل (۸): نتیجه اندازه‌گیری اندازه ضریب بازتاب تشدیدگر SIW (بر حسب dB)



شکل (۹): نتیجه اندازه‌گیری اندازه امپدانس ورودی تشدیدگر SIW

۵- طراحی نوسان‌ساز تنظیم‌پذیر با ولتاژ مبتنی بر تشیدیدگر مجتمع شده در زیرلایه

تشیدیدگر طراحی شده به خوبی در محدوده ۵ GHz تا $\frac{4}{3}$ GHz تشدید می‌کند و ضریب کیفیت آن با تغییر فرکانس بین ۲۲۰ تا ۹۵ تغییر می‌کند این محدوده جابجایی فرکانس تشیدید، این امکان را فراهم می‌سازد تا بتوان با استفاده از آن، نوسان‌سازی با محدوده تنظیم‌پذیری بالا و نویز فاز پایین طراحی کرد. برای طراحی نوسان‌ساز با این تشیدیدگر، نیاز به عنصری با مقاومت منفی است. به این منظور می‌توان از ترانزیستور BFP520 به عنوان عنصر فعال استفاده کرد. این ترانزیستور از نوع BJT بوده و از آنجاکه از جنس سیلیسیم است، فرکانس گوشه نویز فلیکر پایین، و درنتیجه نویز فاز کمتری نسبت به ترانزیستورهای HBT و HEMT دارد. با توجه به داده سازنده، بیشترین f_T به ازای نقطه بایاس ۲ ولت و ۲۵ mA در حدود فرکانس ۴۵ GHz اتفاق می‌افتد. ولتاژ ۱/۹ ولت و ۲۰ mA که در نزدیکی این نقطه قرار دارد، به عنوان نقطه بایاس ترانزیستور به کار گرفته شده است. همچنین پارامتر پراکنده‌ی این ترانزیستور در بایاس مذکور و فرکانس ۵/۷ GHz در جدول (۴) ارائه شده است. با فرض حالت امیتر مشترک برای ساختار نوسان‌ساز و قرار دادن یک خط مایکرواستریپ اتصال کوتاه شده به عنوان سلف در قسمت امیتر این ترانزیستور، بخش مقاومت منفی نوسان‌ساز ساخته می‌شود. پارامترهای پراکنده‌ی ترانزیستور با اضافه کردن این بخش در فرکانس ۵/۷ GHz به نتایج ارائه شده در جدول (۴) تغییر می‌کند.

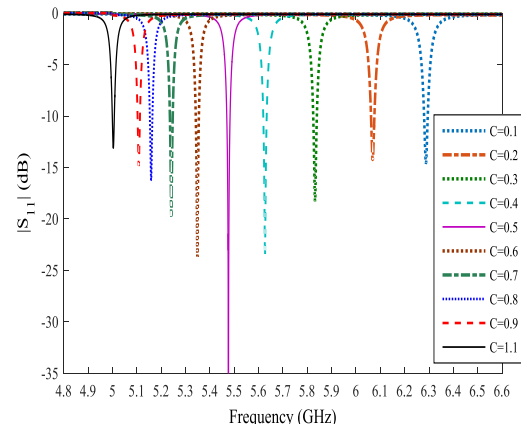
جدول (۴): پارامترهای پراکنده‌ی ترانزیستور در حالت‌های پایدار و ناپایدار

| | بدون خط اتصال کوتاه | با خط اتصال کوتاه |
|----------|---------------------|--------------------|
| S_{11} | $3 \angle -1.6$ | $0.44 \angle 91.8$ |
| S_{12} | $1.3 \angle 105.3$ | $0.15 \angle 9.8$ |
| S_{21} | $4 \angle 3-100$ | $2.78 \angle 4$ |
| S_{22} | $2.6 \angle 2.4$ | $0.13 \angle 134$ |

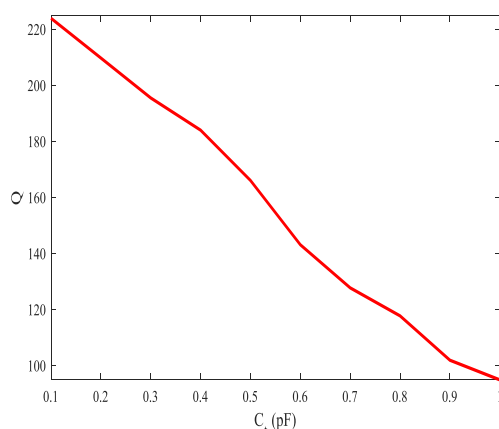
با استفاده از روابط ارائه شده در [۳] باید امپدانس ۵۰ اهم خروجی به امپدانس $45\text{J}^{+0.63\text{e}+}$ در خروجی کلکتور ترانزیستور تبدیل شود. و همین طور امپدانس تقریباً ۵۰ اهم خروجی تشیدیدگر به امپدانس $36.64\text{J}^{+0.46\text{e}+}$ در ورودی بیس ترانزیستور ایجاد شود. با طراحی شبکه تطبیق، نوسان‌ساز اولیه موردنظر طراحی می‌شود. سپس با استفاده از نرم‌افزار Ansoft Serenade و استفاده از روش توازن هارمونیکی، این نوسان‌ساز برای ارائه توان بیشتر و نویز فاز کمتر بهینه شده است.

با توجه به شکل، این نقطه دارای ۲۰ درصد تنظیم‌پذیری و قبل از شکسته شدن منحنی ضریب کیفیت و کاهش شدید ضریب کیفیت قرار دارد. در مورد فاصله شکاف نیز به همین شکل انتخاب صورت گرفته است، هرچند g_e اثر کمتری نسبت به R دارد. در شکل (۱۲) منحنی ضریب بازتاب (S_{11}) این تشیدیدگر تنظیم‌پذیر ترسیم شده است.

در شکل (۱۳) نیز تغییرات ضریب کیفیت این تشیدیدگر تنظیم‌پذیر به ازای تغییر خازن ورکتور ارائه شده است. با توجه به نتایج شبیه‌سازی، به ازای تغییرات خازن از 0.1pF تا 1pF فرکانس تشیدید از 5 GHz تا $\frac{4}{3}\text{ GHz}$ و ضریب کیفیت از ۲۲۰ تا ۹۵ تغییر خواهد کرد. توجه شود نتایج ضریب کیفیت مانند حالت ساخته شده از پاسخ اندازه امپدانس ورودی و رابطه (۴) محاسبه شد. لازم به ذکر است فرکانس تشعشع ساختار تشیدیدگر تنظیم‌پذیر بدون بارگذاری خازن تنظیم‌پذیر 19 GHz محاسبه شد. در حالی که ساختار تشیدیدگر تنظیم‌پذیر، به ازای خازن 1 pF در 15 GHz از خود رفتار تشعشعی با بهره‌ی تشعشعی در حدود 1 dB نشان داد.



شکل (۱۲): اندازه‌ی ضریب بازتاب تشیدیدگر تنظیم‌پذیر به ازای تغییرات خازن (بر حسب dB)



شکل (۱۳): ضریب کیفیت تشیدیدگر تنظیم‌پذیر به ازای تغییرات خازن

تغییرات فرکانس بر حسب ولتاژ از $5/4$ GHz تا $6/35$ GHz با خطا است که این خصوصیت برای طراحی سنتزکننده فرکانس بسیار مناسب است.

۷- نتیجه‌گیری

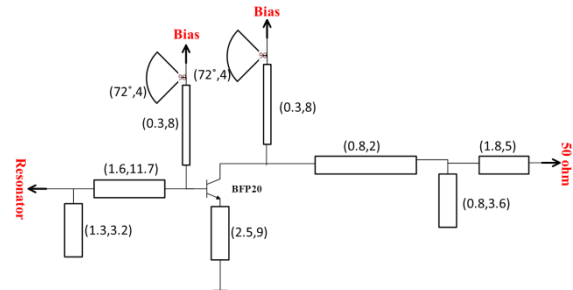
در این مقاله نوسان‌ساز کم نویز و تنظیم‌پذیر با ولتاژ در باند C ارائه شد. در این نوسان‌ساز از موجبر مجتمع شده در زیرلایه یا SIW به عنوان تشیدیدگر استفاده شده است. در این مقاله به بررسی عمیق این تشیدیدگرها پرداخته شده است. اثر شبکه تحریک بر تشیدیدگر SIW بررسی شد و نشان داده شد می‌توان با ایجاد تغییراتی اثر بارگذاری و تلفات این شبکه را به حداقل رساند. همچنین اثر شبکه تنظیم‌پذیر کننده بررسی شد و برای محدوده‌های تنظیم‌پذیری مختلف، نتایج ضربی کیفیت استخراج شد. با استفاده از روش اندازه‌گیری، ضربی کیفیت دیود و رکتور استخراج شده و در شبیه‌سازی‌ها استفاده شد. درنهایت یک تشیدیدگر تنظیم‌پذیر با محدوده‌ی تنظیم‌پذیری ۵ تا $6,3$ GHz مجموع شده در زیرلایه طراحی شد.

۸- مراجع

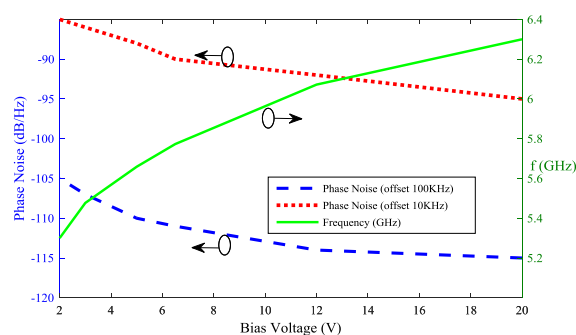
- [1] A. Poddar, "Slow Wave Resonator Based Tunable Multi-Band Multi-Mode Injection-Locked Oscillators," 2014.
- [2] U. L. Rohde, A. Poddar, and G. Böck, "The design of modern microwave oscillators for wireless applications: theory and optimization," J. Wiley & Sons, 2005.
- [3] D. M. Pozar, "Microwave Engineering," 3rd Ed. New York, J. Wiley & Sons, 2005.
- [4] M. Violetti, M. Pellaton, C. Affolderbach, F. Merli, J. F. Zürcher, G. Miletì, and A. K. Skrjervik, "The microloop-gap resonator: A novel miniaturized microwave cavity for double-resonance rubidium atomic clocks," IEEE Sensors Journal, vol. 14, no. 9, pp. 3193-3200, 2014.
- [5] J. Choi and C. Seo, "Microstrip square open-loop multiple split-ring resonator for low-phase-noise VCO," IEEE Transactions on Microwave Theory and Techniques, vol. 56, no. 12, pp. 3245-3252, 2008.
- [6] B. T. Moon and N. H. Myung, "Design of Low Phase-Noise Oscillator Based on a Hairpin-Shaped Resonator Using Composite Right/Left-Handed Transmission Line," IEEE Microwave and Wireless Components Letters, vol. 24, no. 1, pp. 44-46, 2014.
- [7] H. Uchimura, T. Takenoshita, and M. Fujii, "Development of a laminated waveguide," IEEE Transactions on

ساختر نوسان‌ساز موردنظر در شکل (۱۴) نشان داده شده است. در این شکل در کنار هر خط مایکرواستریپ ابتداء عرض و سپس طول آن خط در طراحی نشان داده شده است. امپدانس بار ۵۰ اهم خروجی، توسط شبکه تطبیق به امپدانس مناسب در محاسبه می‌شود که ضربی بازتاب بیشتر از یک در ورودی ترانزیستور ایجاد شود. امپدانس تشیدیدگر نیز به این منظور به ورودی ترانزیستور تطبیق می‌شود.

در شکل (۱۵) نتایج تغییرات فرکانس و نویز فاز خروجی نوسان‌ساز در فاصله‌های ۱۰ KHz و ۱۰۰ KHz از فرکانس نوسان به ازای تغییرات ولتاژ کنترل ترسیم شده است. این نوسان‌ساز دارای محدوده‌ی تنظیم‌پذیری ۵,۲۸ تا $6,35$ GHz گیگاهرتز به ازای تغییرات خازن از $1,0$ pF تا 1 nF است که معادل تغییر ولتاژ خازن تنظیم‌پذیر از 20 تا 2 ولت است. توان خروجی این نوسان‌ساز بین 10 mW تا 100 mW متغیر بوده و اختلاف هارمونیک‌های مرتبه بالاتر آن از هارمونیک اصلی، بیشتر از 10 dB است.



شکل (۱۴): مدار نوسان‌ساز تنظیم‌پذیر با ولتاژ (ابعاد طول و عرض خطوط بر حسب میلی‌متر)



شکل ۱۵. نتایج فرکانس نوسان و نویز فاز نوسان‌ساز تنظیم‌پذیر با ولتاژ

شبیه‌سازی نویز فاز نشان می‌دهد در فرکانس نوسان $5/65$ GHz نویز فاز به ترتیب -91 dBc و -111 dBc در فاصله‌های 10 KHz و 100 KHz از فرکانس نوسان است که نتیجه بسیار خوبی برای این باند به شمار می‌رود. همچنین این

- Microwave Theory and Techniques, vol. 46, no. 12, pp. 2438-2443, 1998.
- [8] D. Deslandes and K. Wu, "Accurate modeling, wave mechanisms, and design considerations of a substrate integrated waveguide," IEEE Transactions on microwave theory and techniques, vol. 54, no. 6, pp. 2516-2526, 2006.
 - [9] M. Bozzi, A. Georgiadis, and K. Wu, "Review of substrate-integrated waveguide circuits and antennas," IET Microwaves, Antennas & Propagation, vol. 5, no. 8, pp. 909-920, 2011.
 - [10] K. Entesar, A. Pourghorban Saghafi, V. Sekar, and M. Armendariz, "Tunable SIW structures: antennas, VCOs, and filters," IEEE Microwave Magazine, vol. 16, no. 5, pp. 34-54, 2015.
 - [11] A. Collado, F. Mira, and A. Georgiadis, "Mechanically tunable substrate integrated waveguide (SIW) cavity based oscillator," IEEE Microwave and Wireless Components Letters, vol. 23, no. 9, 489-491, 2013.
 - [12] J. D. Barrera, and G. H. Huff, "Analysis of a variable SIW resonator enabled by dielectric material perturbations and applications," IEEE Transactions on Microwave Theory and Techniques, vol. 61, no. 1, pp. 225-233, 2013.
 - [13] F. F. He, K. Wu, W. Hong, L. Han, and X. Chen, "A low phase-noise VCO using an electronically tunable substrate integrated waveguide resonator," IEEE Transactions on Microwave Theory and Techniques, vol. 58, no. 12, pp. 3452-3458, 2010.
 - [14] Z. Chen, W. Hong, J. Chen, and J. Zhou, "Design of high-Q tunable SIW resonator and its application to low phase noise VCO," IEEE Microwave and Wireless Components Letters, vol. 23, no. 1, pp. 43-45, 2013.
 - [15] C. T. M. Wu, T. Itoh, A. K. Poddar, and U. L. Rohde, "A C-band tunable oscillator based on complementary coupled resonator using substrate integrated waveguide cavity," In Microwave Conference (EuMC), 2014 44th European, pp. 715-718. IEEE, 2014.
 - [16] Y. Cassivi, L. Perregrini, P. Arcioni, M. Bressan, K. Wu, and G. Conciauro, "Dispersion characteristics of substrate integrated rectangular waveguide," IEEE Microwave and Wireless Components Letters, vol. 12, no. 9, pp. 333-335, 2002.
 - [17] P. A. Rizzi, "Microwave engineering: passive circuits, Prentice Hall," 1988.
 - [18] R. J. Cameron, R. Mansour, and C. M. Kudsia, "Microwave filters for communication systems: fundamentals, design and applications," Wiley-Interscience, 2007.
 - [19] Z. Kordiboroujeni and J. Bornemann, "New wideband transition from microstrip line to substrate integrated waveguide," IEEE Transactions on Microwave Theory and Techniques, vol. 62, no. 12, pp. 2983-2989, 2014.
 - [20] D. Deslandes and K. Wu, "Analysis and design of current probe transition from grounded coplanar to substrate integrated rectangular waveguides," IEEE Transactions on Microwave Theory and Techniques, vol. 53, no. 8, pp. 2487-2494, 2005.
 - [21] E. Soltani, et al., "Design, simulation and fabrication of a 2x2 patch array antenna with SIW feeding in X-band," Journal of Radar, Imam Hossein Comprehensive University, vol. 3, no. 3, pp. 20-11, 2015. (In Persian)

Voltage Controlled Oscillator Based on Substrate Integrated Waveguide Resonator

A. Nooraei Yeganeh, S. A. Ahmadi*

K.N.Toosi University of Technology

(Received: 16/11/2016, Accepted: 07/08/2017)

Abstract

In this paper a C-band, low phase noise voltage controlled oscillator is presented based on substrate integrated waveguide (SIW) resonator. As the SIW resonator plays a great role on the noise performance of the voltage controlled oscillator, the effects of some parameters on the performance of the SIW are investigated. Considering various techniques of excitation and tuning, an SIW resonator is designed in the frequency range of 5 to 6.3 GHz. The resulting tunable resonator has a quality factor of 240 at 5.5 GHz, when simulated on RO4003 substrate. The voltage controlled oscillator can oscillate from 5.3 GHz up to 6.3 GHz. The tuning voltage for this frequency range is between 2 and 20 Volts. The oscillator phase noise is better than -112dBc/Hz at 100 KHz offset from the 5.5 GHz carrier.

Keywords: Substrate Integrated Waveguide(SIW), High Quality Factor Resonator, Tunable Resonator, Low Phase Noise Oscillator, Voltage Controled Oscillator (VCO)